

# Oberkörperanalyse im Bewegungslabor

Andreas Kranzl, Barbara Pobatschnig, Fabian Unglaube

Labor für Gang- und Bewegungsanalyse  
Orthopädisches Spital Speising,



## Ergebnisse aus verschiedenen Arbeiten



Masterarbeit (Barbara Pobatschnig)

Bachelorarbeit (Olympia Eleftheriadis)

EU- Projekt INPUT (Nr. 687795)



This project (INPUT) has received funding from the European Union's Horizon 2020 research and innovation program under grant agreement number 687795. The content of this presentation does not reflect the official opinion of the European Union. Responsibility for the information and views expressed lies entirely with the author.

## Klassische Assessments

Typischer Weise -- zeitbasierte Ergebnisse

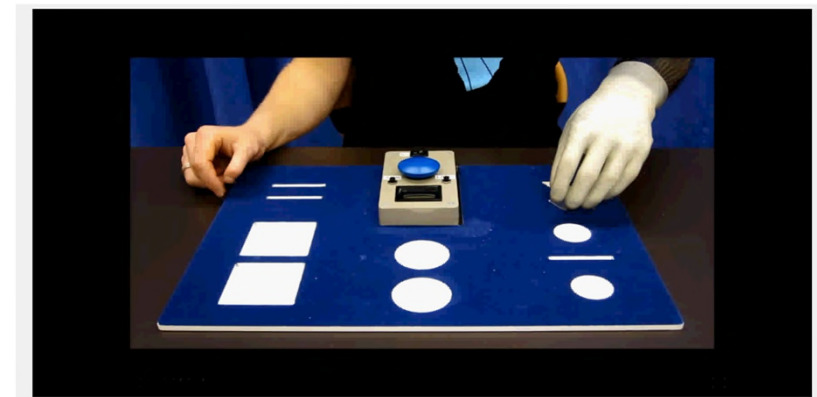
SHAP Test (Light et.al. 2002), 26 Aufgaben, wie Schlüssel drehen, Glas füllen,  
Gegenstände bewegen

SHELF Test (Amsüss 2014)

Box and Block Test (Mathiowetz et.al. 1985)

Nine-Hole-Peg-Test (Mathiowetz et.al. 1985)

Clothespin and relocation Test



## Kompensationsbewegungen



Sind vorhanden:

### **Musculoskeletal Complaints in Transverse Upper Limb Reduction Deficiency and Amputation in The Netherlands: Prevalence, Predictors, and Effect on Health**

Sietke G.Postema et.al. 2016

Arch Phys Med Rehabil. 2016 Jul;97(7):1173-45

...prevalence of MSCs were almost twice as high in individuals with upper limb absence (57% and 65%, respectively) compared with individuals without upper limb absence (27% and 34%, respectively) and were most often located in the nonaffected limb and upper back/neck

### **Musculoskeletal pain and overuse syndromes in adult acquired major upper-limb amputees.**

Ostlie K. et.al.,

Arch Phys Med Rehabil. 2011 Dec;92(12):1967-1973

Self-reported musculoskeletal pain was more frequent in ULAs than in the control group except for lower back pain. In ULAs, 57.0% reported neck/upper back pain

## Analyse von verschiedenen Prothesenhänden

Orthopädisches  
Spital Speising  
Wien



Michelangelo



Sensor Hand Speed



Axon Hook

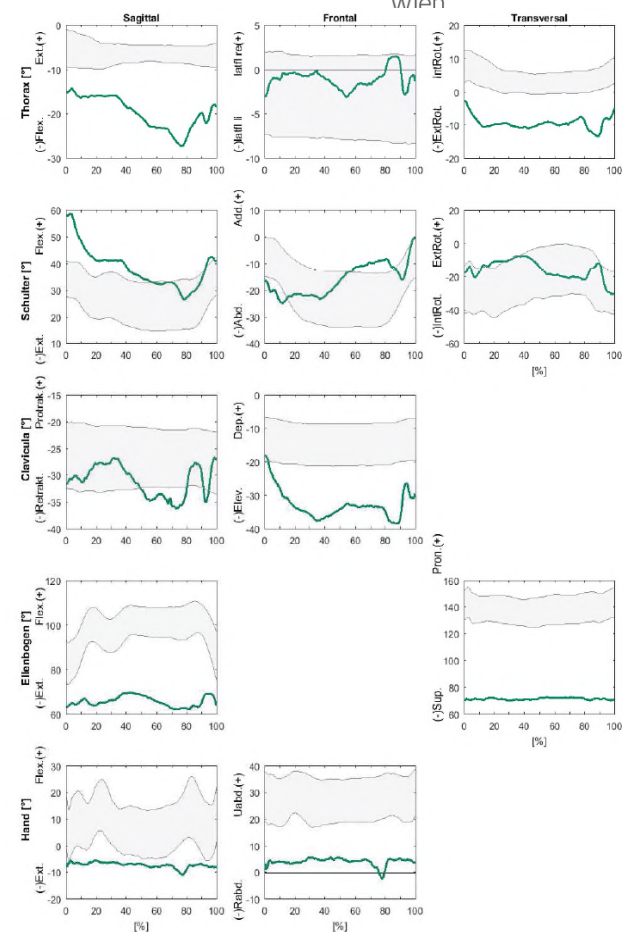


Masterarbeit Barbara Pobatschnig

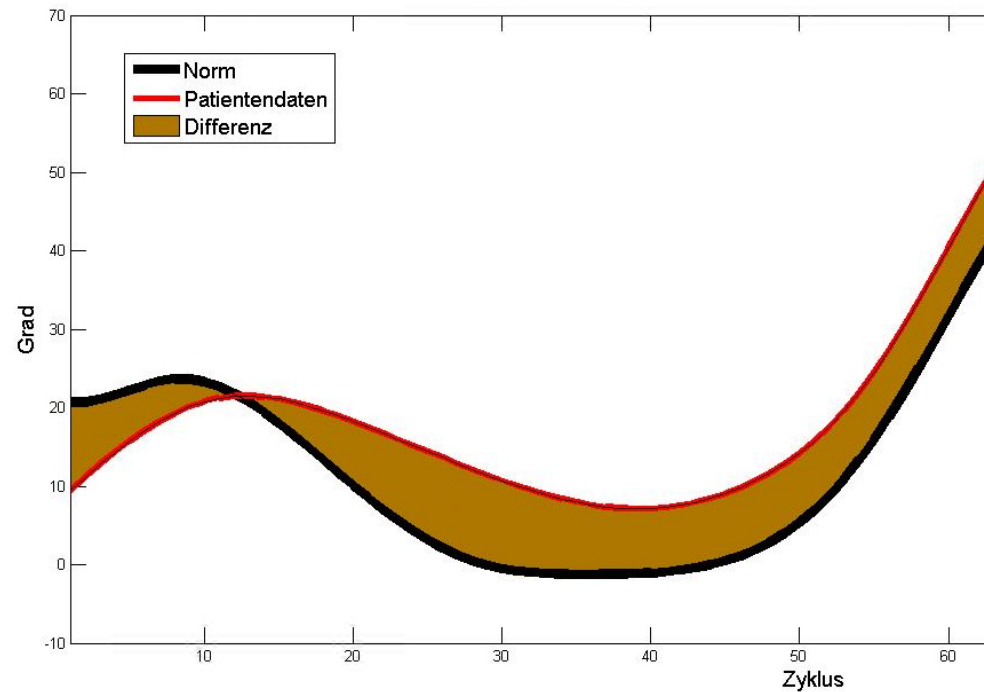
Specifications	Michelangelo (MA)	Sensor Hand Speed <sup>1</sup> (SHS)	Axon Hook (Hook)
Myoelectrical (2 electrodes)	✓	✓	✓
Sequentiell	✓	✓	✓
Active wrist rotation	✓	✓	✓
Passive wrist flexion/extension	✓		✓
Rigide wrist		✓	
Grips	lateral / tripod / natural mode	tripod	Open hand / close hand

# Kinematikanalyse

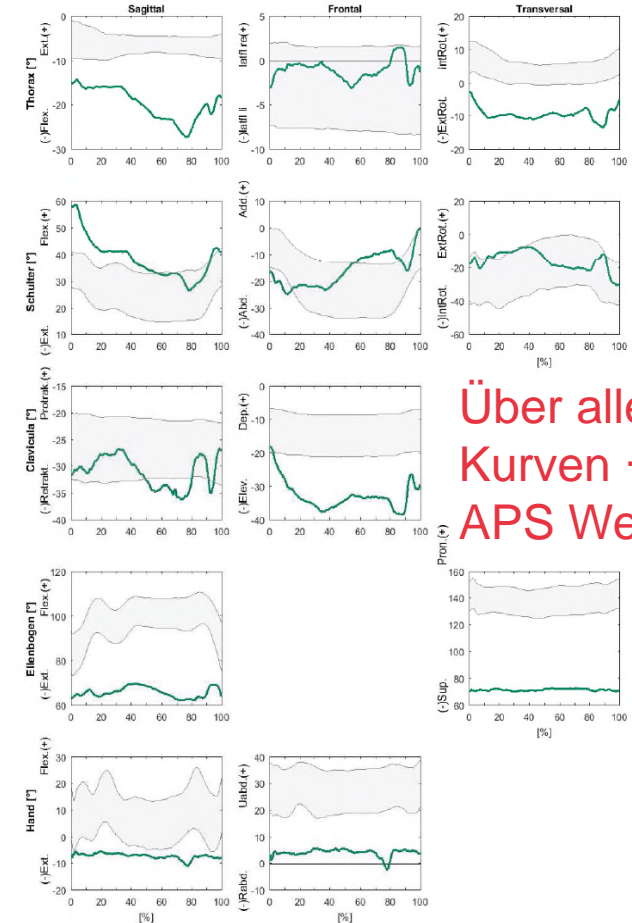
Orthopädisches  
Spital Speising  
Wien



## Kinematikanalyse – APS



RMS Differenz – Movement Analysis Profile

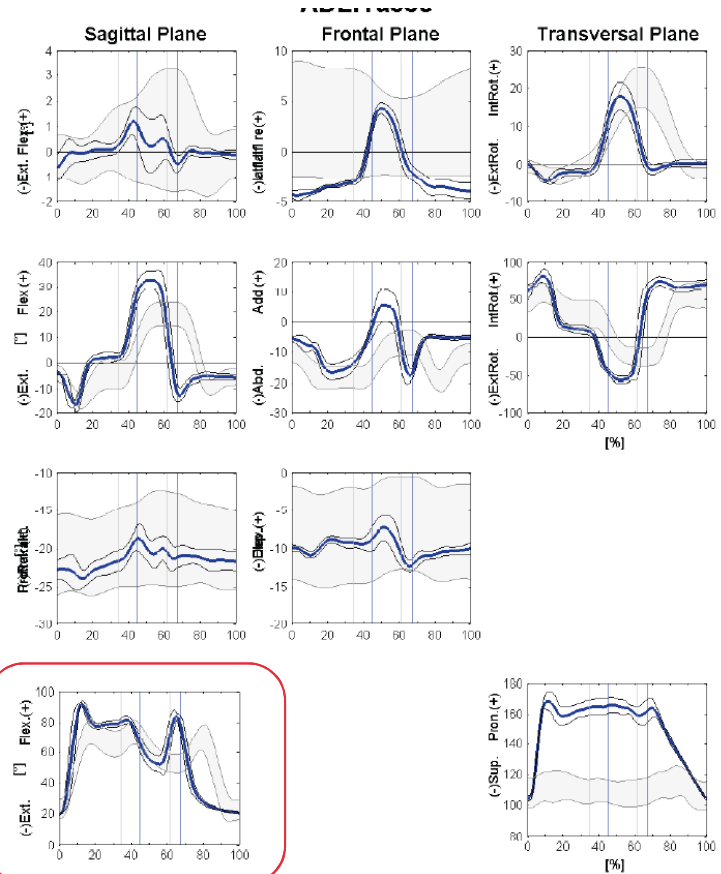


Über alle  
Kurven →  
APS Wert

# Kinematikanalyse – APS

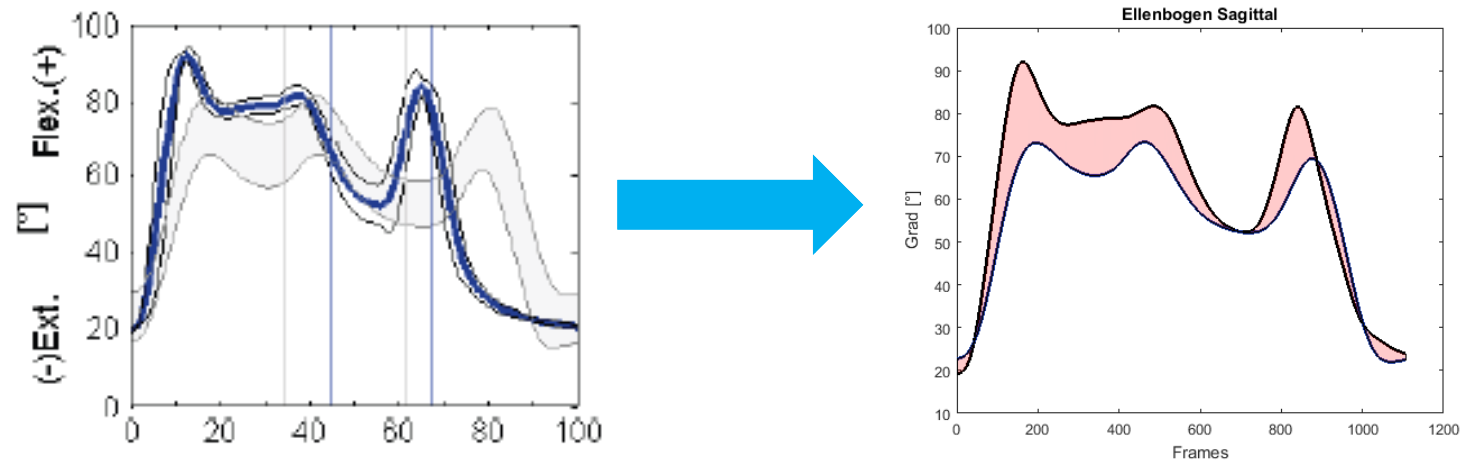


Orthopädisches  
Spital Speising  
Wien



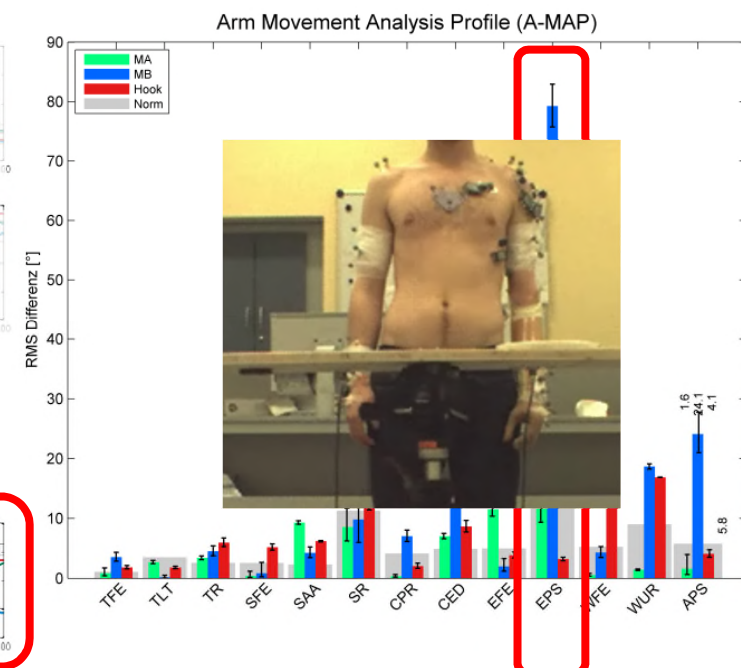
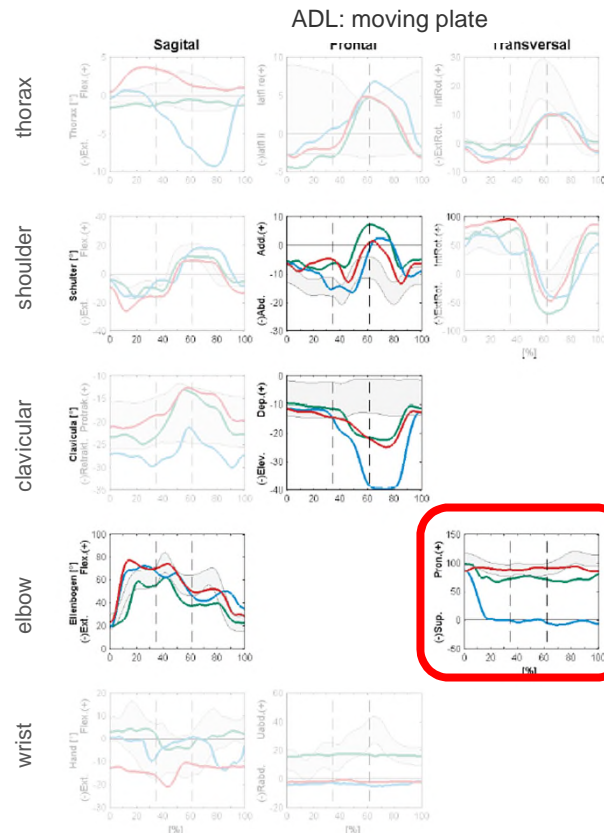
## Kinematikanalyse – APS

 Orthopädisches  
Spital Speising  
Wien



## Ergebnisse ADL: Teller transferieren

Orthopädisches  
Spital Speising  
Wien

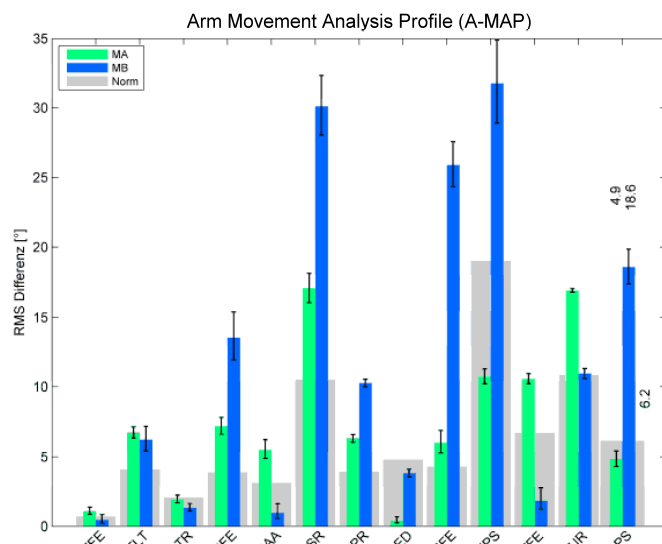


## Ergebnisse APS: Teller transferieren

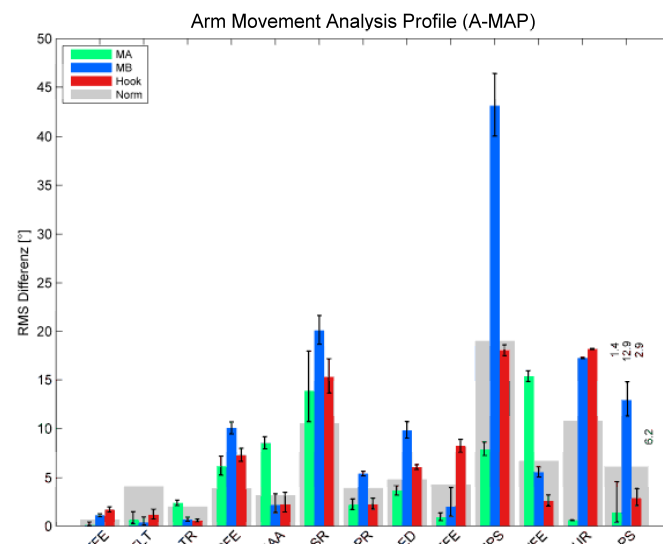
Orthopädisches  
Spital Speising  
Wien



amputee 1

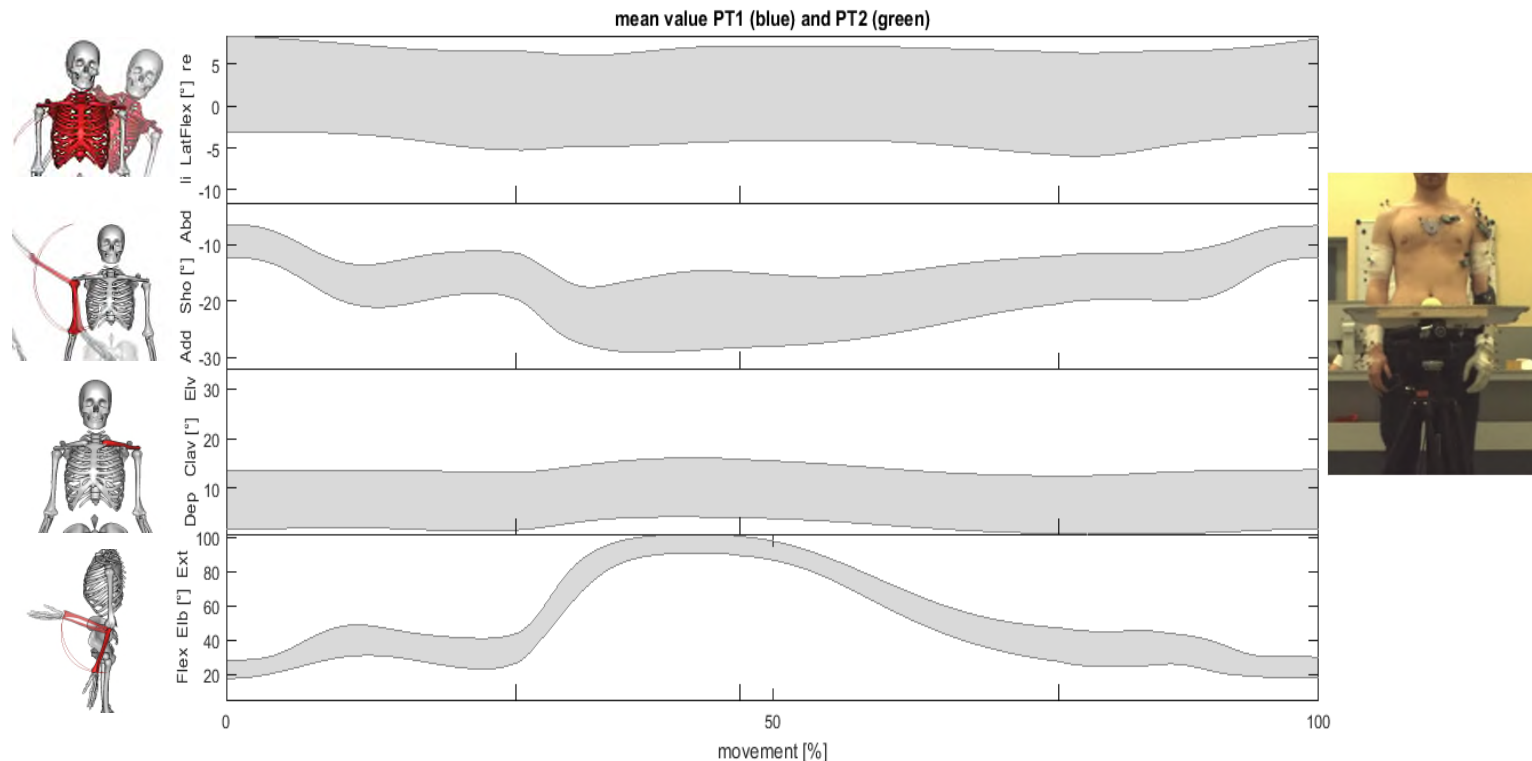


amputee 2



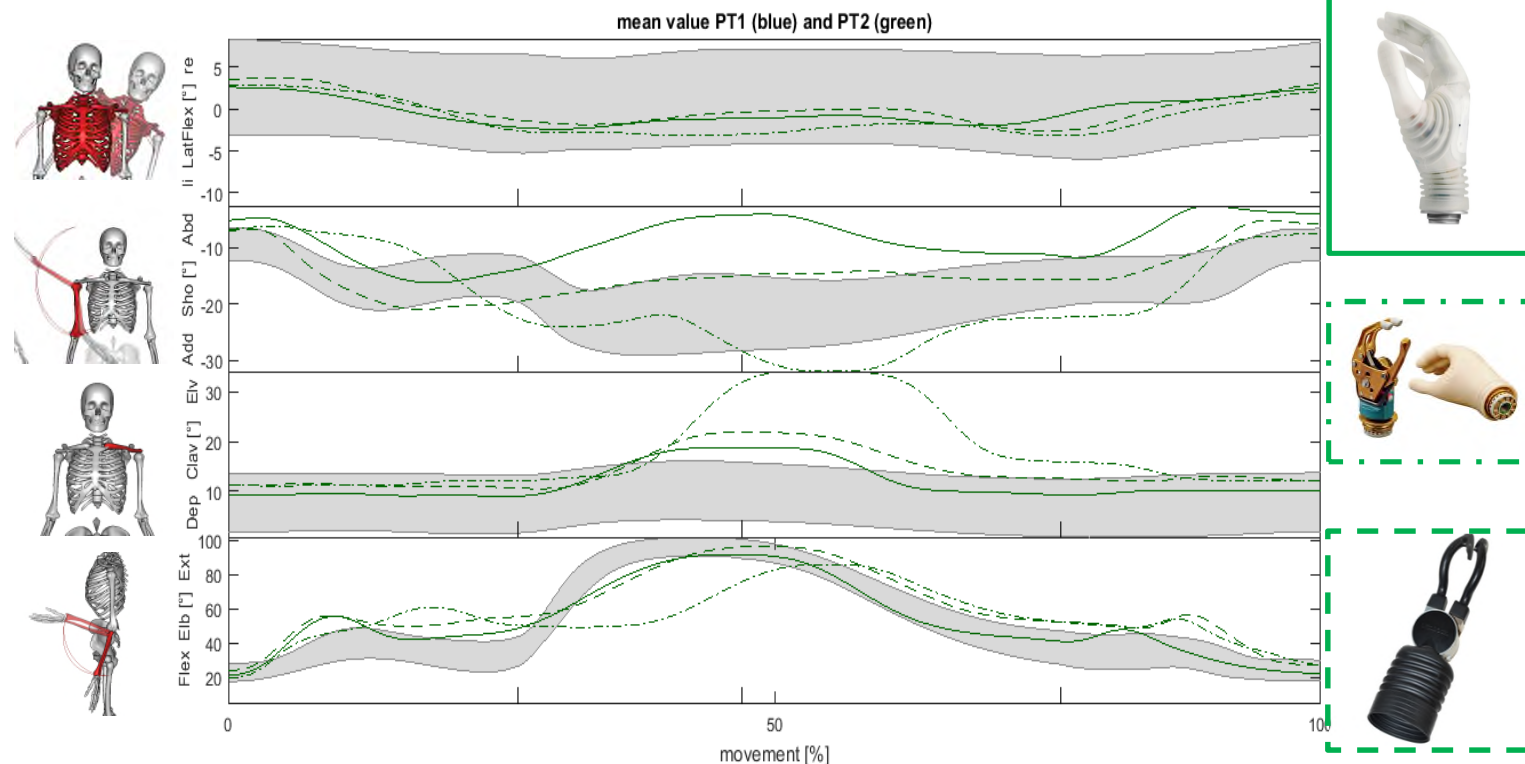
## Ergebnisse Prothesenträger – Teller transferieren

Orthopädisches  
Spital Speising  
Wien



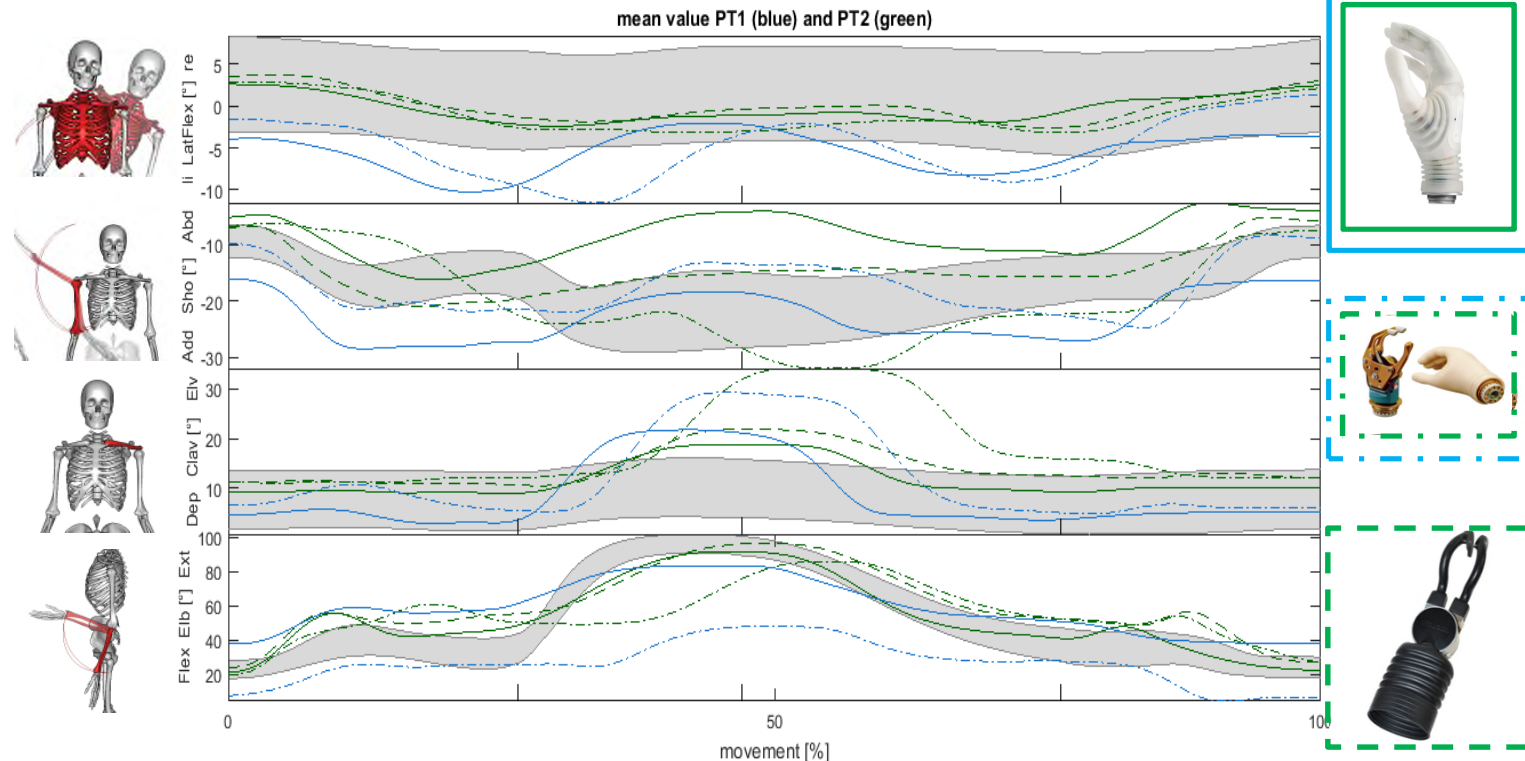
## Ergebnisse Prothesenträger – Teller transferieren

Orthopädisches  
Spital Speising  
Wien



## Ergebnisse Prothesenträger – Teller transferieren

Orthopädisches  
Spital Speising  
Wien

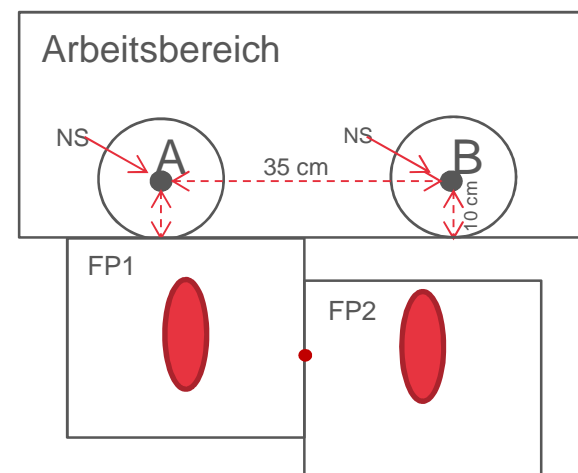
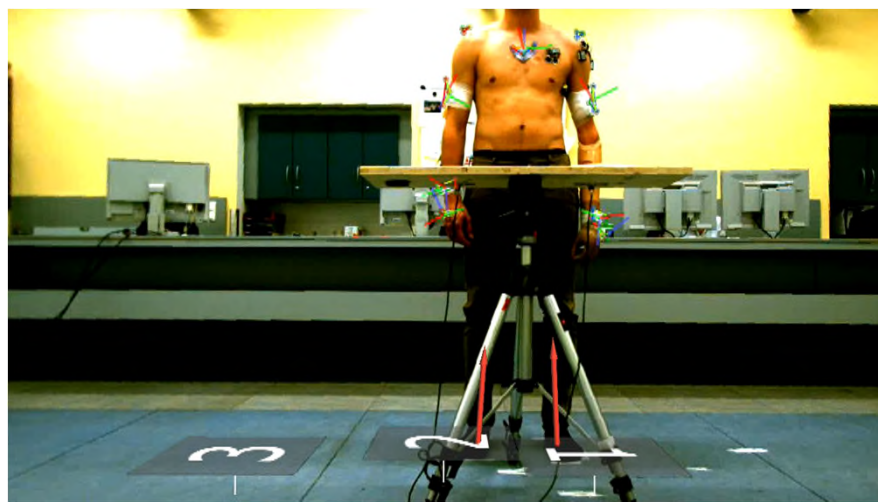


# Verwendung des Körperschwerpunktes zur Detektierung von Ausgleichsbewegungen



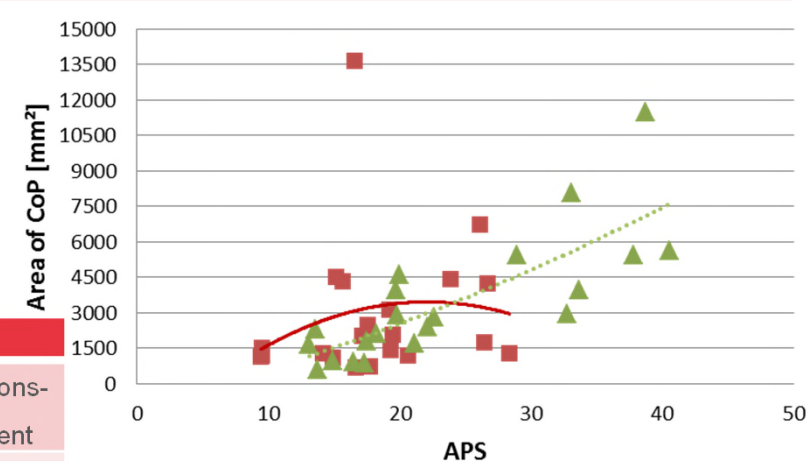
Basierend auf der Masterarbeit von Barbara Pobatschnig

Analyse von Normdaten und Patientendaten  
alle 8 ADLs



# Verwendung des Körperschwerpunkts zur Detektierung von Ausgleichsbewegungen

ADL	Bezeichnung	Beschreibung					
ADL1	Tasse	Der Proband greift den Henkel der Tasse, hebt und führt die Tasse in einer horizontalen Bewegung über eine Strecke von 35 cm und stellt sie auf einer Markierung ab.					
ADL2	Teller	Ausgeführt wie ADL1, statt der Tasse wird ein Teller verwendet.					
<hr/>							
	Phase 1		Phase 2		Phase 3		
	Signifikanz	Korrelations-koeffizient	Signifikanz	Korrelations-koeffizient	Signifikanz	Korrelations-koeffizient	
ADL1 (Tasse)	0,118			0,784		0,559	
ADL2 (Teller)	0,234			0,000	0,699	0,000	0,744



## Komplexere Alltagsbewegungen (ADL)

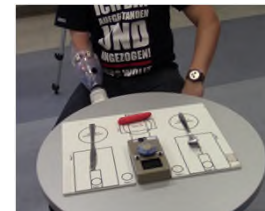
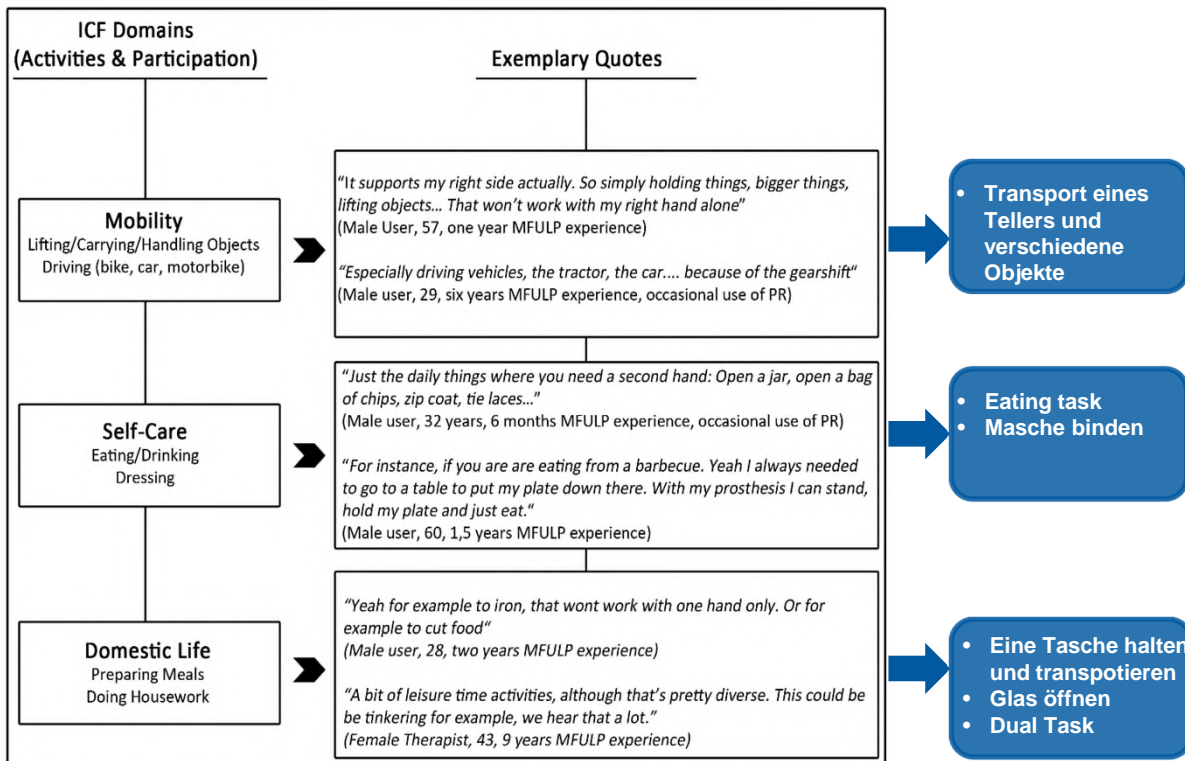
 Orthopädisches  
Spital Speising  
Wien



Nutzung der Prothese im Alltag



# ADLs zur Funktionsanalyse



## SHAP

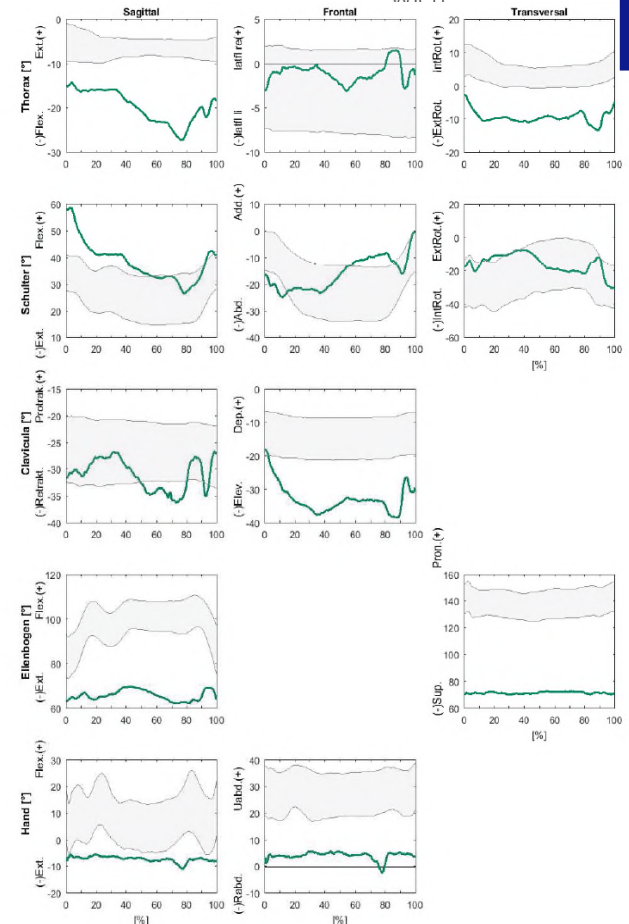
Parameters	Normative subjects	Users
APS [°]	6.19	36.46
Execution time [sec]	1.53±0.24	3.29

Task:

Place the ‘extension object’ in the appropriate rear slot. Using an extension grip, move the object to the front slot.



Orthopädisches  
Spital Speising  
Wien

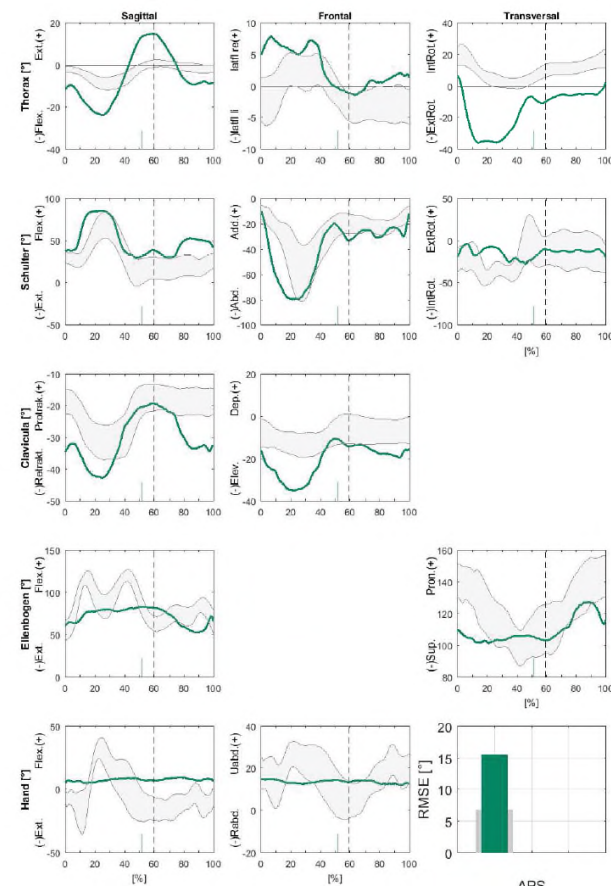


## SHELF (Amsüss, 2014)

parameters	Normative subjects	Users
APS	6.9	15.6
Execution time	1.5±0.2	8.5±0.9

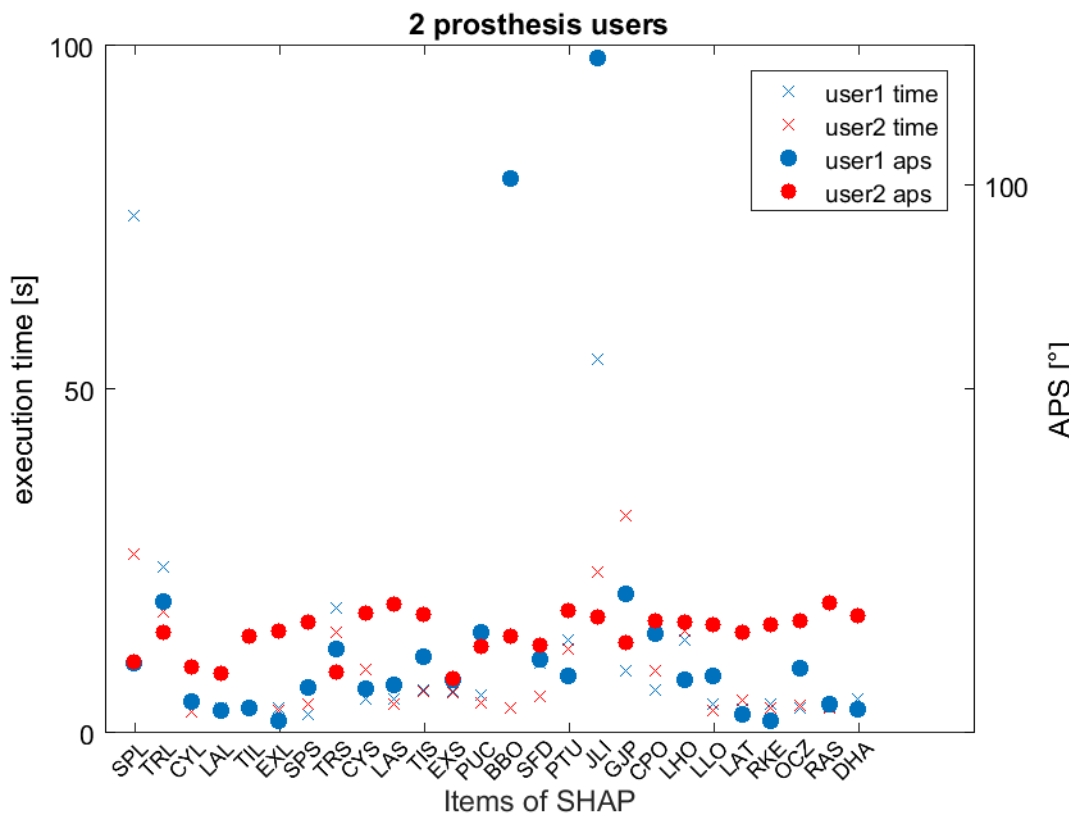


Orthopädisches  
Spital Speising  
Wien



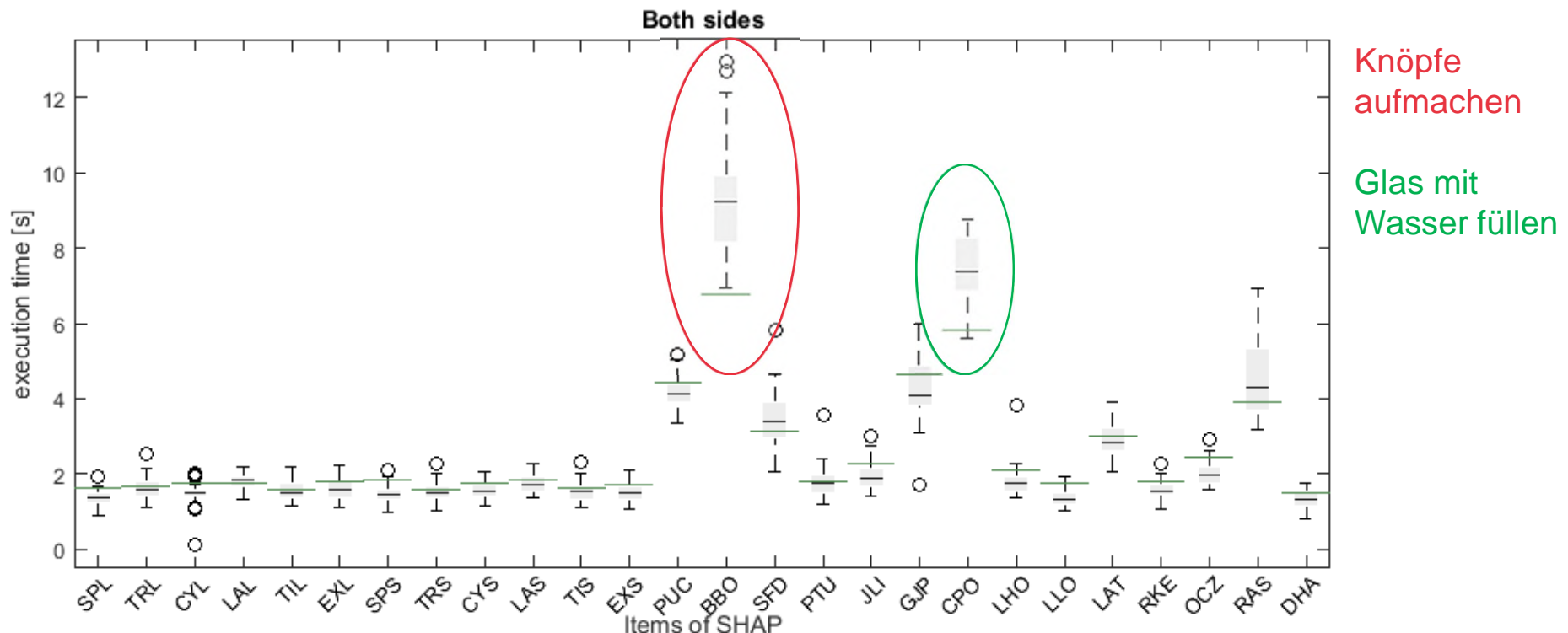
## Ergebnisse SHAP Test - APS

 Orthopädisches  
Spital Speising  
Wien



## Ergebnisse SHAP Test – Literatur eigene Normdaten

Orthopädisches  
Spital Speising  
Wien



# Einfluss der Elektrodenposition auf das abgeleitete EMG Signal

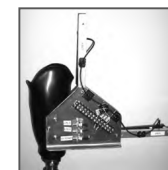


Derzeit Problem bei pattern classification (Mustererkennung):  
Position der Extremität im Raum (Scheme et al. 2010)  
Ausziehen und erneutes Anziehen sowie Zusatzgewicht (Vidovic et al. 2017)

Wie kann man die Positionierung am Stumpf messen?

Mehrere Methoden sind verfügbar. (Eshragi et al. 2012)

- Röntgen, Potentiometer, opto-elektronisches Systems, .....



Childers et al. 2012

Available online at [www.sciencedirect.com](http://www.sciencedirect.com)  
SCIENCE @ DIRECT<sup>®</sup>  
Gait & Posture 22 (2005) 138–145  
www.elsevier.com/locate/gaitpost  
ELSEVIER  
GAIT & POSTURE  
www.elsevier.com/locate/gaitpost

Clinical applicability of using spherical fitting to find hip joint centers  
Jennifer L. Hicks<sup>a,\*</sup>, James G. Richards<sup>b</sup>  
<sup>a</sup>Biomechanics Department, Stanford University, Stanford, CA 94305-5444, USA  
<sup>b</sup>Human Performance Laboratory, Department of Health, Nutrition and Exercise Science, University of Delaware, Newark, DE 19716, USA  
Accepted 2 August 2004

**Abstract**  
The traditional or return-fitting method has been proposed as an alternative to the traditional predictive approach to locating hip centers in native ADLs broadly. In the traditional approach, the movement of muscles on the pelvis form a sphere whose center constitutes each hip center. The traditional approach is based on the assumption that the muscle movement is a smooth function of the joint position. A spherical approximation of the muscle movement is used to predict the hip center. The traditional approach is considered to be less accurate than the return-fitting method. The return-fitting method is considered to be more accurate than the traditional approach.

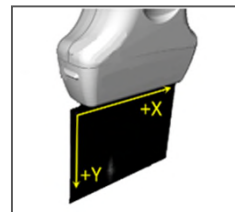
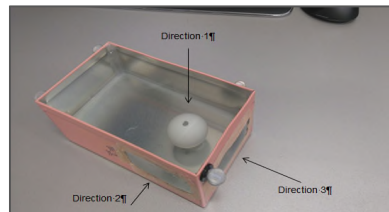
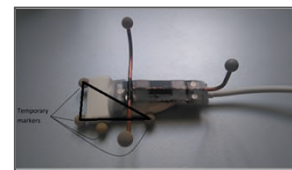
**Hicks et al. 2005**

Kombination von Ultraschall und 3 D Motion Capture System um die Relation zwischen Schaft und Knochen zu erfassen

## Methode



- 14 infrarot Kameras (Vicon) + Ultraschallsystem (Telemed, 5-12 MHz)
- Kalibrierung (Tischtennisball) (Brendel et al. 2004)
- Vergleich: Tischtennisball gemessenes Zentrum/reales Zentrum
- 3 Richtungen, 10 Trials,  
3 Sessions



	Session 1	Session 2	Session 3
RMSE	0.635 mm	0.535 mm	0.795 mm
	0.655 mm		
RMSE by Brendel et al. 2004	0.32 mm		

results accuracy measurements

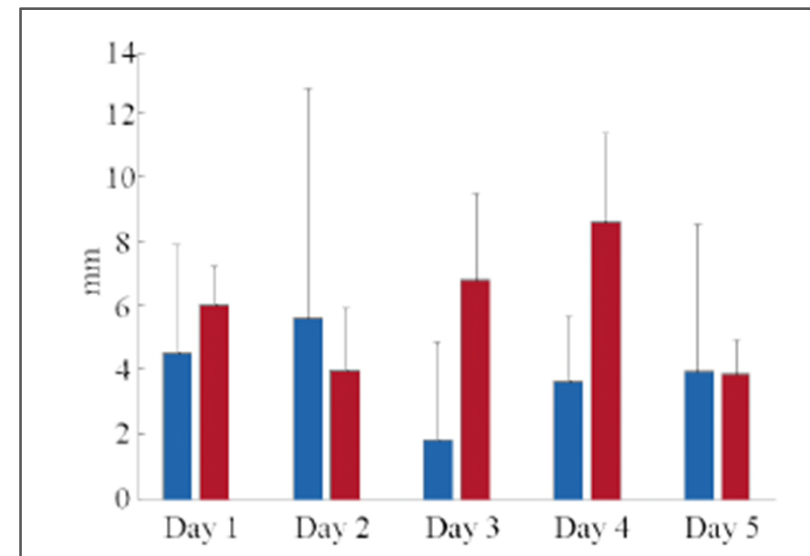
## Elektrodenshift



Elektrodenshift auf der Haut gemessen (Amsuess, 2014)

- longitudinal Richtung: ~ 6 mm
- perpendicular Richtung : ~ 9 mm

Shifts ca. 1 cm sind in klinischen Verhältnissen zu erwarten (Young et al. 2014)



Electrode shift with respect to the skin. (Amsuess, 2014).

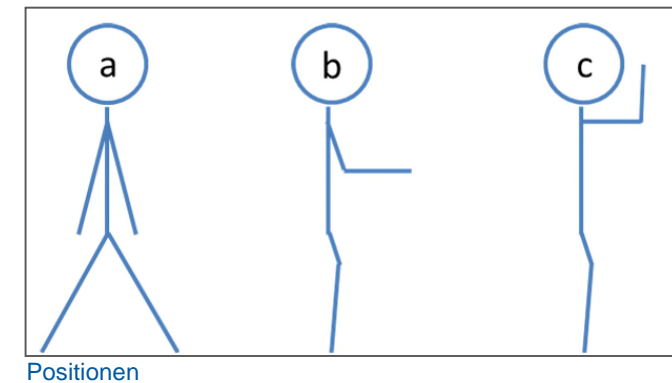
## Messprotokoll



- trans- radial Amputierte

Protokoll:

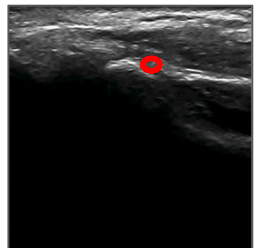
- Drei verschiedene statische Armpositionen ohne Gewicht (Arm hängend (a), Ellbogen 90°(b), über Kopf gehalten(c))
- Mit Gewicht (Positions a, b und c)
- Ausziehen und erneutes Anziehen der Prothese (2x wiederholt, Position a, b and c ohne Gewicht)
- Alle Messungen wurden 5 mal durchgeführt



## Protokoll für Patientenmessung



- Angefertigter Schaft mit Ausnehmungen
- retro-reflective Marker am Schaft
- Wiederauffindbare knöcherne Strukturen



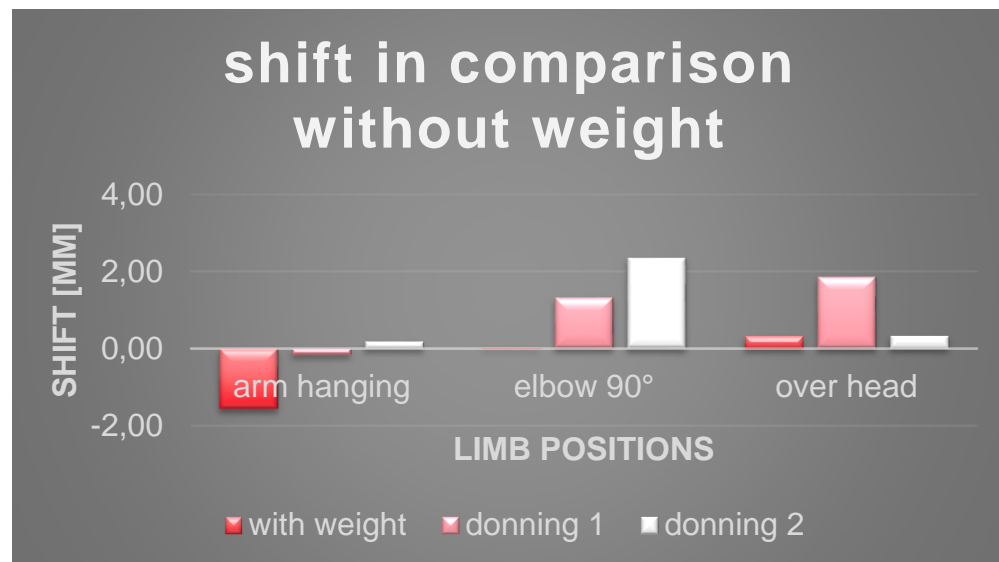
Zielparameter:

Distanz zwischen knöchernen Strukturen und Markern am Schaft

Reproduzierbarkeit:

- Differenz [mm] zwischen 2 unabhängigen Beobachtern
- Mittelwert:  $0.43 \pm .036$  mm
- min: 0.01 mm, max: 1.18 mm

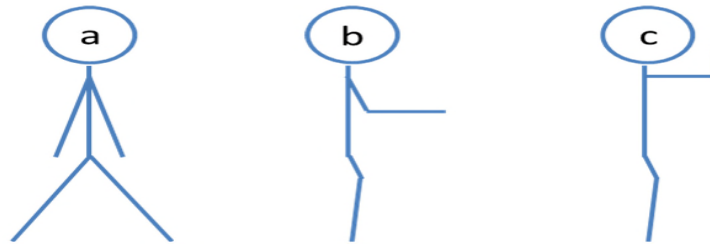
## Vorläufige Ergebnisse Ultraschallmessung



Veränderungen scheinen relative gering zu sein. (unter 3 mm)

arm hanging	elbow 90°	over head	
0,00	0,00	0,00	without weight
-1,57	0,04	0,33	with weight
-0,16	1,33	1,86	donning 1
0,18	2,35	0,34	donning 2

Shift values within a limb position in comparison with condition „no weight“ [mm] (n=2).



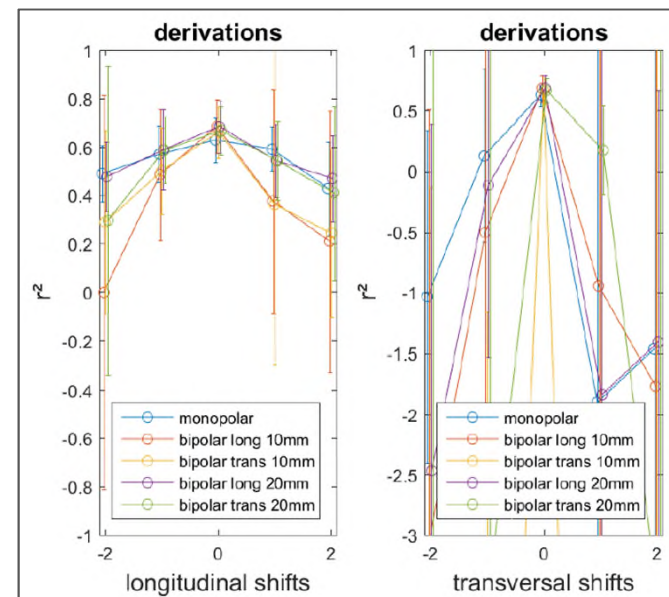
## Discussion/Outlook

Werte geringer gegenüber Amsuess 2014 (1 cm)

Theoretische Arbeit aus der Arbeitsgruppe von Dario Fabrina, Imperial Collage London

Vorläufige Schlussfolgerung:

- Versatz relative gering
- Einfluss auf das EMG Signal eher gering



Ergebnisse - Imperial Collage London

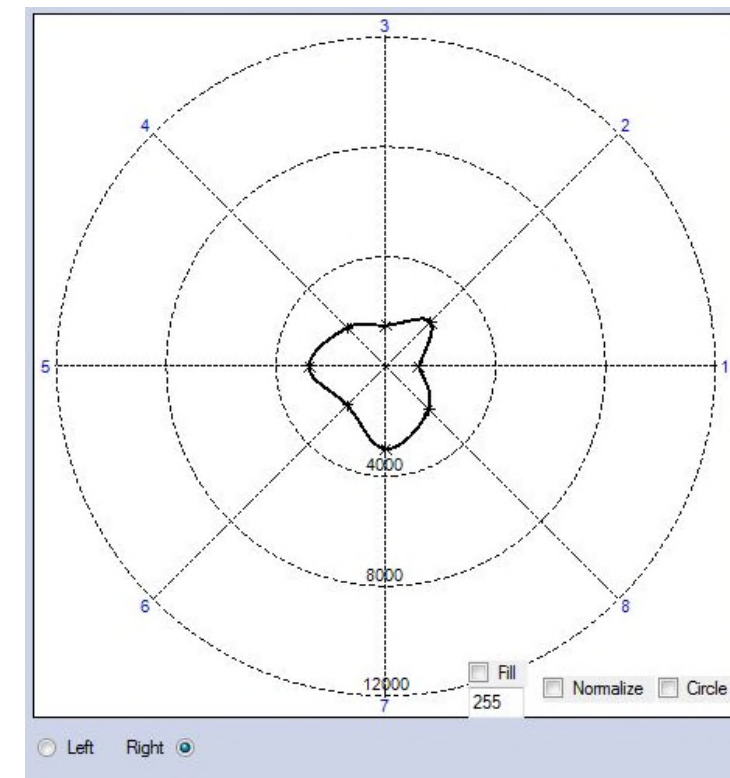
# Ansteuerung myoelektrischer Prothesen pattern recognition control – machine learning



Mehrere Elektroden

Mustererkennung

Musterdifferenzierung für verschiedene Grifffunktionen, - Bewegungen

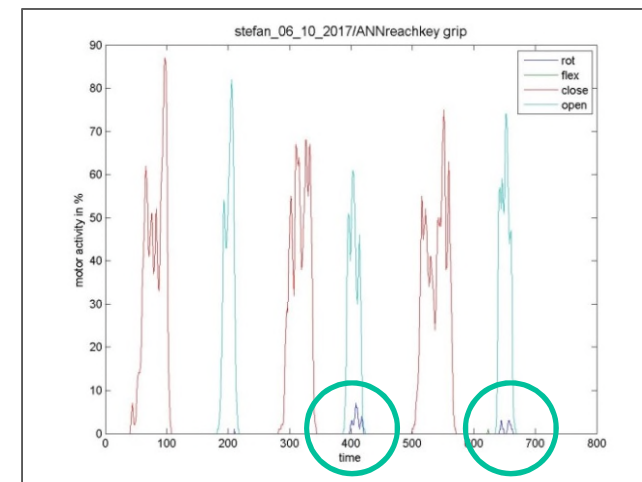


# Ansteuerung myoelektrischer Prothesen pattern recognition control – machine learning

Patientenevaluierung: Position nach vorne greifen – Fine Pinch

User Quote:

„Every time I open the hand, it performs a small rotation!“

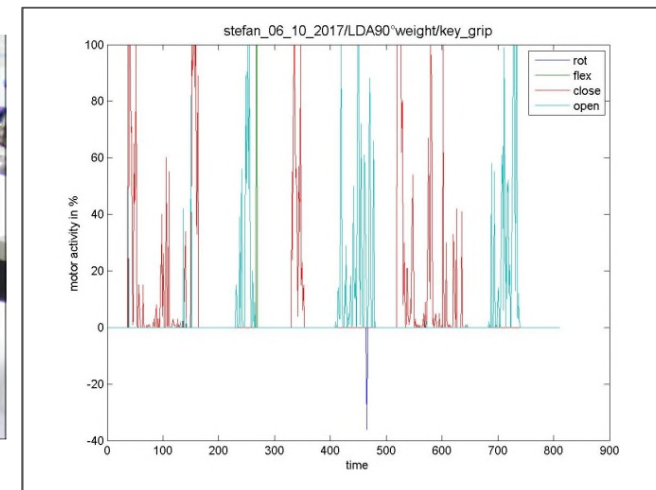


# Ansteuerung myoelektrischer Prothesen pattern recognition control – machine learning

Patientenevaluierung : Position 90° Ellbogen gebeugt – Key Grip

User Quote:

„Difficulties in performing key grip and unintentional wrist flexion while performing hand open!“



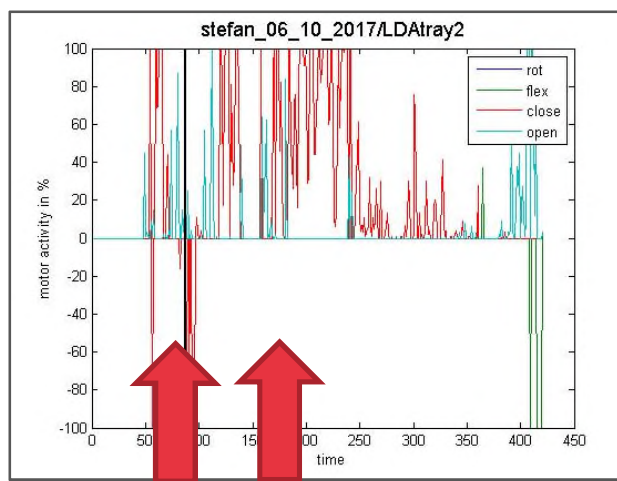
# Ansteuerung myoelektrischer Prothesen pattern recognition control – machine learning



Patientenevaluierung : Grasp – Transport – Release a Tray

User Quote:

„Difficulties in keeping key grip close [...] permanent hand open stimulus [...] unintentional wrist flexion while performing hand open!“



Danke!



Kontaktinformation:

Andreas Kranzl

Orthopädisches Spital Speising

[andreas.kranzl@oss.at](mailto:andreas.kranzl@oss.at)

